

Starkniederschlagshöhen und -spenden gemäß KOSTRA-DWD-2010R

Auswertungszeitraum von 1951 - 2010, Januar - Dezember

Rasterfeld: 36016

Zeile: 36

Spalte: 16

Seite: 1/2

| Dauerstufe D | Wiederkehrzeit T | | | | | | | | | | | | | | | | | | |
|--------------|------------------|------|------------|------|------------|------|------------|------|------------|------|------------|------|------------|------|------------|-------|------------|-------|------------|
| | 1 a | | 2 a | | 3 a | | 5 a | | 10 a | | 20 a | | 30 a | | 50 a | | 100 a | | |
| min | Std | mm | l / (s ha) | mm | l / (s ha) | mm | l / (s ha) | mm | l / (s ha) | mm | l / (s ha) | mm | l / (s ha) | mm | l / (s ha) | mm | l / (s ha) | mm | l / (s ha) |
| 5 | | 5,1 | 170,0 | 7,4 | 246,7 | 8,7 | 290,0 | 10,3 | 343,3 | 12,5 | 416,7 | 14,8 | 493,3 | 16,1 | 536,7 | 17,7 | 590,0 | 19,9 | 663,3 |
| 10 | | 8,1 | 135,0 | 11,0 | 183,3 | 12,6 | 210,0 | 14,7 | 245,0 | 17,5 | 291,7 | 20,3 | 338,3 | 22,0 | 366,7 | 24,0 | 400,0 | 26,9 | 448,3 |
| 15 | | 10,1 | 112,2 | 13,3 | 147,8 | 15,2 | 168,9 | 17,6 | 195,6 | 20,8 | 231,1 | 24,1 | 267,8 | 26,0 | 288,9 | 28,4 | 315,6 | 31,6 | 351,1 |
| 20 | | 11,5 | 95,8 | 15,1 | 125,8 | 17,1 | 142,5 | 19,8 | 165,0 | 23,3 | 194,2 | 26,9 | 224,2 | 29,0 | 241,7 | 31,6 | 263,3 | 35,2 | 293,3 |
| 30 | | 13,3 | 73,9 | 17,4 | 96,7 | 19,8 | 110,0 | 22,8 | 126,7 | 26,9 | 149,4 | 31,0 | 172,2 | 33,4 | 185,6 | 36,4 | 202,2 | 40,5 | 225,0 |
| 45 | | 14,9 | 55,2 | 19,6 | 72,6 | 22,3 | 82,6 | 25,8 | 95,6 | 30,5 | 113,0 | 35,2 | 130,4 | 38,0 | 140,7 | 41,4 | 153,3 | 46,1 | 170,7 |
| 60 | | 15,8 | 43,9 | 21,0 | 58,3 | 24,0 | 66,7 | 27,9 | 77,5 | 33,0 | 91,7 | 38,2 | 106,1 | 41,3 | 114,7 | 45,1 | 125,3 | 50,3 | 139,7 |
| 90 | | 17,3 | 32,0 | 22,8 | 42,2 | 26,0 | 48,1 | 30,1 | 55,7 | 35,6 | 65,9 | 41,2 | 76,3 | 44,4 | 82,2 | 48,5 | 89,8 | 54,0 | 100,0 |
| 120 | 2 | 18,4 | 25,6 | 24,2 | 33,6 | 27,5 | 38,2 | 31,8 | 44,2 | 37,6 | 52,2 | 43,4 | 60,3 | 46,8 | 65,0 | 51,1 | 71,0 | 56,9 | 79,0 |
| 180 | 3 | 20,1 | 18,6 | 26,2 | 24,3 | 29,8 | 27,6 | 34,4 | 31,9 | 40,6 | 37,6 | 46,8 | 43,3 | 50,4 | 46,7 | 54,9 | 50,8 | 61,1 | 56,6 |
| 240 | 4 | 21,3 | 14,8 | 27,8 | 19,3 | 31,6 | 21,9 | 36,4 | 25,3 | 42,8 | 29,7 | 49,3 | 34,2 | 53,1 | 36,9 | 57,8 | 40,1 | 64,3 | 44,7 |
| 360 | 6 | 23,3 | 10,8 | 30,2 | 14,0 | 34,2 | 15,8 | 39,3 | 18,2 | 46,2 | 21,4 | 53,1 | 24,6 | 57,1 | 26,4 | 62,2 | 28,8 | 69,1 | 32,0 |
| 540 | 9 | 25,5 | 7,9 | 32,8 | 10,1 | 37,1 | 11,5 | 42,5 | 13,1 | 49,9 | 15,4 | 57,2 | 17,7 | 61,5 | 19,0 | 66,9 | 20,6 | 74,3 | 22,9 |
| 720 | 12 | 27,1 | 6,3 | 34,8 | 8,1 | 39,3 | 9,1 | 45,0 | 10,4 | 52,6 | 12,2 | 60,3 | 14,0 | 64,8 | 15,0 | 70,5 | 16,3 | 78,2 | 18,1 |
| 1080 | 18 | 29,6 | 4,6 | 37,8 | 5,8 | 42,6 | 6,6 | 48,6 | 7,5 | 56,8 | 8,8 | 65,0 | 10,0 | 69,8 | 10,8 | 75,9 | 11,7 | 84,1 | 13,0 |
| 1440 | 24 | 31,5 | 3,6 | 40,1 | 4,6 | 45,1 | 5,2 | 51,4 | 5,9 | 60,0 | 6,9 | 68,6 | 7,9 | 73,6 | 8,5 | 79,9 | 9,2 | 88,5 | 10,2 |
| 2880 | 48 | 39,1 | 2,3 | 48,7 | 2,8 | 54,4 | 3,1 | 61,5 | 3,6 | 71,1 | 4,1 | 80,7 | 4,7 | 86,3 | 5,0 | 93,4 | 5,4 | 103,1 | 6,0 |
| 4320 | 72 | 44,4 | 1,7 | 54,6 | 2,1 | 60,6 | 2,3 | 68,2 | 2,6 | 78,4 | 3,0 | 88,6 | 3,4 | 94,6 | 3,6 | 102,2 | 3,9 | 112,4 | 4,3 |

Angaben in mm: Bemessungsniederschlagswerte h(n)

Angaben in l / (s ha): Regenspende R(n) mit $R(n) = h(n) \times 1,666667 / D[\text{min}]$

Toleranzbereiche:

+/- 10 % für $1 \text{ a} \leq T \leq 5 \text{ a}$

+/- 15 % für $5 \text{ a} < T \leq 50 \text{ a}$

+/- 20 % für $50 \text{ a} < T \leq 100 \text{ a}$

Datenbasis: KOSTRA-DWD-2010R des Deutschen Wetterdienstes. Die Regenspende wurde auf Basis des Bemessungsniederschlags zur jeweiligen Andauer berechnet.

Für die Richtigkeit und Aktualität der Angaben wird keine Gewähr übernommen. Erstellt 07/2022.

Starkniederschlagshöhen und -spenden gemäß KOSTRA-DWD-2010R

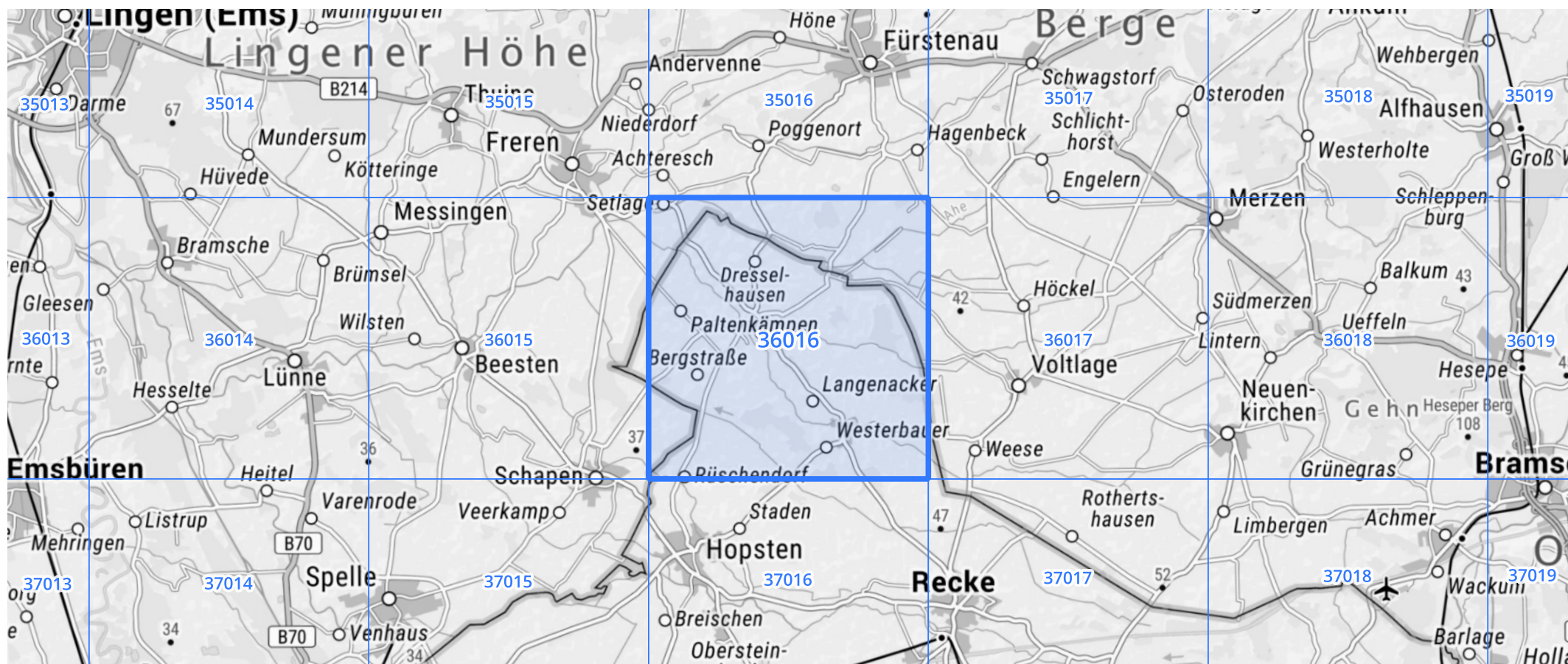
Auswertungszeitraum von 1951 - 2010, Januar - Dezember

Rasterfeld: 36016

Zeile: 36

Spalte: 16

Seite: 2/2



Quelle Rasterdaten: KOSTRA-DWD-2010R des Deutschen Wetterdienstes.

Kartendarstellung: © Bundesamt für Kartographie und Geodäsie (2022), Datenquellen: https://sgx.geodatenzentrum.de/web_public/gdz/datenquellen/Datenquellen_TopPlusOpen.html

Für die Richtigkeit und Aktualität der Angaben wird keine Gewähr übernommen. Erstellt 07/2022.